

## SEMINARI 2

### Problema centre - focus i bifurcació de Hopf

Víctor Ballester Ribó  
NIU:1570866

Sistemes dinàmics  
Grau en Matemàtiques  
Universitat Autònoma de Barcelona  
Gener de 2023

En aquest document ens dedicarem a estudiar l'estabilitat de l'origen en funció de paràmetres per a diferents sistemes diferencials així com el nombre d'òrbites periòdiques que poden néixer de l'origen en cada cas.

### Exercici 1

Considerem el sistema diferencial:

$$\begin{cases} x' = -y \\ y' = x + ay + bx^2 + cx^3 + x^4 \end{cases} \quad (1)$$

amb  $a, b, c \in \mathbb{R}$ .

Observem d'entrada que si  $a \neq 0$ , l'origen és hiperbòlic i per tant és estable si  $a < 0$  i inestable si  $a > 0$ . Pel cas  $a = 0$ , fixem-nos que el sistema és Hamiltonià amb integral primera (definida en un entorn de l'origen):

$$H = \frac{x^2}{2} + \frac{y^2}{2} + b\frac{x^3}{3} + c\frac{x^4}{4} + \frac{x^5}{5}$$

Per tant, com que el sistema rota al voltant de l'origen, aquest és un centre  $\forall b, c \in \mathbb{R}$ .

Finalment notem que la divergència del sistema és  $a$ . I per tant si  $a \neq 0$ , el teorema de Bendixson ens assegura que no hi ha cicles límit al sistema per cap valor de  $a, b, c \in \mathbb{R}$ ,  $a \neq 0$ .

### Exercici 2

Considerem el sistema diferencial:

$$\begin{cases} x' = ax - y + x^2 \\ y' = x + y^2 + bxy \end{cases} \quad (2)$$

amb  $a, b \in \mathbb{R}$ .

El sistema té divergència  $a + 2x + 2y + bx$ , que té signe constant en un entorn de l'origen si  $a \neq 0$ . Per tant, l'estabilitat de l'origen si  $a \neq 0$  ve donada pel signe de  $a$ . Quan  $a > 0$ , l'origen és inestable; quan  $a < 0$ , és estable. Ara suposem  $a = 0$ . La primera constant de Lyapunov és  $L_1 = -b/4$ . Per tant, aquest cop l'estabilitat ve donada pel signe de  $b$ . Si ara suposem  $a = b = 0$ , el sistema resultant

$$\begin{cases} x' = -y + x^2 \\ y' = x + y^2 \end{cases}$$

és simètric respecte el canvi  $(x, y, t) \rightarrow (-y, -x, -t)$ , que correspon a la simetria respecte la recta  $x + y = 0$ . Com que el sistema rota en un entorn de l'origen, aquest és un centre. En resum, em obtingut els següents resultats:

$$\text{L'origen és un } \begin{cases} \text{focus estable} & \text{si } a < 0 \text{ o } a = 0, b > 0 \\ \text{focus inestable} & \text{si } a > 0 \text{ o } a = 0, b < 0 \\ \text{centre} & \text{si } a = b = 0 \end{cases}$$

Per estudiar el nombre de cicles límit que neixen de l'origen fixem-nos que si  $a = 0$ , podem escriure la funció de retorn en sèrie de potències respecte  $L_1$  i factoritzar-la de la forma:

$$\Delta(\rho) = L_1 \rho^3 (1 + O(\rho^2))$$

que és un polinomi que no té zeros per  $\rho \gtrsim 0$  i  $b \neq 0$ . Per tant, només tindrem un únic cicle límit bifurcant de l'origen, que és el corresponent a la traça.

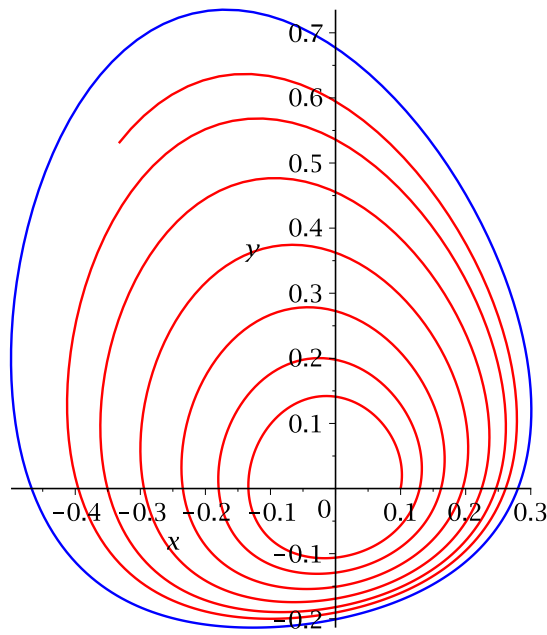


Figura 1: Cicle límit de Hopf del sistema (2) amb  $a = 0.1$  i  $b = 3$

### Exercici 3

Considerem el sistema diferencial:

$$\begin{cases} x' = -y + xy + x^2 \\ y' = x + ax^2 + by^2 \end{cases} \quad (3)$$

amb  $a, b \in \mathbb{R}$ .

Les tres primeres constants de Lyapunov d'aquest sistema són les següents:

$$L_1 = \frac{1-2a}{4} \quad L_2 = \frac{4b^3-7b-1}{16} \quad L_3 = 0$$

on per calcular cadascuna, hem assumit que les anteriors eren zero. Recordem que, com que el sistema és quadràtic, no cal calcular-ne més, ja que totes les següents també seran 0. L'estabilitat, doncs, la tenim determinada excepte per quan  $a = 1/2$  i  $b$  satisfà  $4b^3 - 7b - 1 = 0$ . Les arrels d'aquest polinomi s'exposen a continuació:

$$-0.1445842733... \quad -1.244644286... \quad 1.389228559...$$

Observem que per  $a = 1/2$  i  $b$  proper

### Exercici 4

Considerem el sistema diferencial:

$$\begin{cases} x' = ax - y - 9x^2 + 4xy + by^2 \\ y' = x + ay + 2x^2 - 7xy - 2y^2 \end{cases} \quad (4)$$

amb  $a, b \in \mathbb{R}$ .

### Exercici 5

Considerem el sistema diferencial:

$$\begin{cases} x' = 6\epsilon x - 24ax^2 - 18xy - 3\epsilon + 24x \\ y' = 2(3y-2)(3y+\epsilon) \end{cases} \quad (5)$$

amb  $a > 0$  i  $\varepsilon \in \mathbb{R}$ . En aquest cas se'ns demana estudiar l'estabilitat de tots els equilibris. Els equilibris que tenim són els següents:

$$z_{\pm}^1 = \left( \frac{\varepsilon + 2 \pm \sqrt{-8a\varepsilon + (\varepsilon + 2)^2}}{8a}, \frac{2}{3} \right) \quad z_{\pm}^2 = \left( \frac{\varepsilon + 2 \pm \sqrt{-2a\varepsilon + (\varepsilon + 2)^2}}{4a}, -\frac{\varepsilon}{3} \right)$$

Els valors propis de les diferencials a cada punt són els següents:

$$\sigma(DX(z_{\pm}^1)) = \left\{ 12 + 6\varepsilon, \mp 6\sqrt{-8a\varepsilon + (\varepsilon + 2)^2} \right\}$$

$$\sigma(DX(z_{\pm}^2)) = \left\{ -(12 + 6\varepsilon), \mp 12\sqrt{-2a\varepsilon + (\varepsilon + 2)^2} \right\}$$

Definim  $f(a, \varepsilon) = -8a\varepsilon + (\varepsilon + 2)^2$  i  $g(a, \varepsilon) = -2a\varepsilon + (\varepsilon + 2)^2$ . Fixem-nos quan  $f(a, \varepsilon) < 0$  perdrem dos punts d'equilibri i el mateix passa per  $g(a, \varepsilon)$ . Com podem observar a la figura 2, en la regió vermella tenim 4 punts

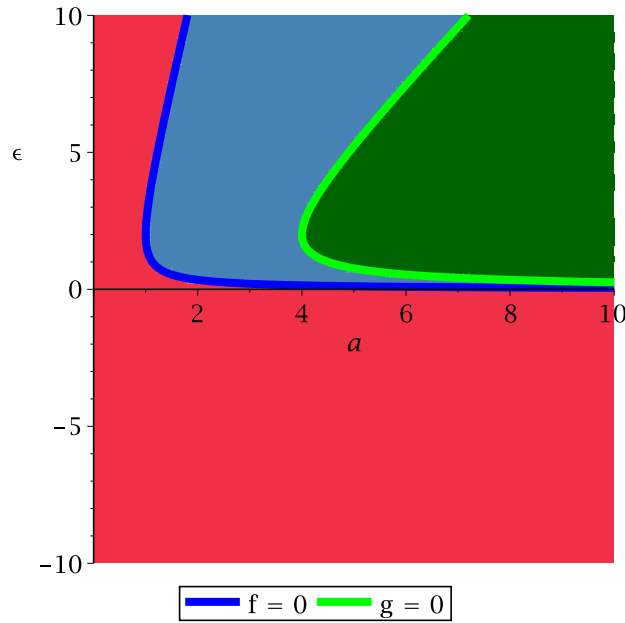


Figura 2: Gràfiques de les equacions  $f = 0$  i  $g = 0$

crítics, en la regió blava 2 i en la verda 0. En les corbes blava i verda, tenim 3 i 1 equilibris respectivament. En la regió vermella, els equilibris si  $\varepsilon > -2$ ,  $z_+^1$  i  $z_+^2$  són selles i  $z_-^1$  i  $z_-^2$  nodes (inestable i estable, respectivament). Si  $\varepsilon < -2$ ,  $z_+^1$  i  $z_-^2$  són selles i  $z_-^1$  i  $z_+^2$  nodes (estable i inestable, respectivament). Per  $\varepsilon = -2$ ,  $z_+^1 = z_+^2 = (\frac{1}{2\sqrt{a}}, \frac{2}{3})$  i  $z_-^1 = z_-^2 = (-\frac{1}{2\sqrt{a}}, \frac{2}{3})$  amb valors propis  $\{0, \mp 24\sqrt{a}\}$ . Una de les dues varietats és atractora per un punt, i repulsora per a l'altre. Estudiant el camp sobre la varietat central, veiem que en ambdós casos comença amb sèrie amb  $128a^2z^2 + \dots$  (un cop havent centrat el punt a l'origen, és a dir  $z \simeq 0$ ). Per tant, tenim en ambdós casos un sella-node.

En la regió blava, l'estabilitat dels punts  $z_{\pm}^2$  és la mateixa que en la regió vermella quan  $\varepsilon > -2$ . Finalment en les dues corbes  $f = 0$  i  $g = 0$ , on els punts col·lisionen, tenim en ambdós casos un valor propi 0 i estudiant el camp sobre la seva corresponent varietat central deduïm que són selles nodes.

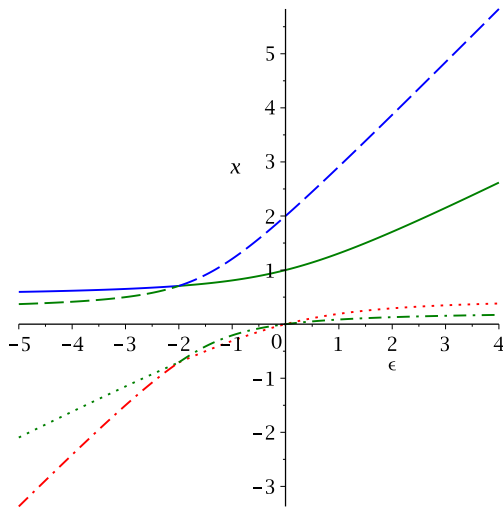
A continuació presentem els diagrames de bifurcació per a diverses seccions  $a = \text{const}$ . En els següents gràfics la línia contínua representa el punt  $z_+^1$ ; la discontinua amb punts, el punt  $z_-^1$ ; la discontinua amb ratlles, el punt  $z_+^2$ , i la discontinua amb punts i ratlles, el punt  $z_-^2$ .

Pels següents gràfics ometrem el diagrama de les  $y$ , ja que sempre és de la mateixa forma.

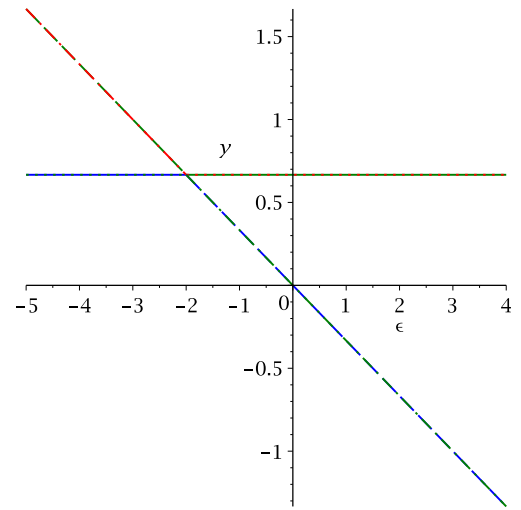
## Exercici 6

Considerem el sistema diferencial:

$$\begin{cases} x' = y & =: f_1(x, y) \\ y' = -x + \mu(1 - x^2)y & =: f_2(x, y) \end{cases} \quad (6)$$



(a) Gràfic  $\varepsilon - x$



(b) Gràfic  $\varepsilon - y$

Figura 3: Diagrama de bifurcació dels punts d'equilibri quan  $a = 1/2$

amb  $a, b, c \in \mathbb{R}$ . Volem estudiar l'estabilitat de l'origen en funció de  $a$ ,  $b$  i  $c$  així com el nombre d'òrbites periòdiques que poden néixer d'aquest.

## Exercici 7

Considerem el sistema diferencial:

$$\begin{cases} x' = y \\ y' = \beta_1 + \beta_2 x + x^2 + xy \end{cases} \quad (7)$$

amb  $\beta_1, \beta_2 \in \mathbb{R}$ . Se'ns demana estudiar quan obtindrem una bifurcació de Hopf. Per això estaria bé conèixer l'estabilitat dels equilibris segons  $\beta_1$  i  $\beta_2$ .

Suposem d'entrada  $\beta_2^2 \geq 4\beta_1$ , perquè si no el sistema no té equilibris. En aquest cas, aquests juntament amb els seus valors propis són els següents:

$$\begin{aligned} z_+ &= \left( -\frac{\beta_2}{2} + \frac{\sqrt{\beta_2^2 - 4\beta_1}}{2}, 0 \right) & \sigma(D\mathbf{X}(z_+)) &= \left\{ -\frac{\beta_2}{2} + \frac{\sqrt{\beta_2^2 - 4\beta_1}}{2} \pm \frac{\sqrt{f(\beta_1, \beta_2)}}{4} \right\} \\ z_- &= \left( -\frac{\beta_2}{2} - \frac{\sqrt{\beta_2^2 - 4\beta_1}}{2}, 0 \right) & \sigma(D\mathbf{X}(z_-)) &= \left\{ -\frac{\beta_2}{2} - \frac{\sqrt{\beta_2^2 - 4\beta_1}}{2} \pm \frac{\sqrt{g(\beta_1, \beta_2)}}{4} \right\} \end{aligned}$$

on:

$$\begin{aligned} f(\beta_1, \beta_2) &= 2\beta_2^2 - 4\beta_1 - 2\beta_2\sqrt{\beta_2^2 - 4\beta_1} + 16\sqrt{\beta_2^2 - 4\beta_1} \\ g(\beta_1, \beta_2) &= 2\beta_2^2 - 4\beta_1 + 2\beta_2\sqrt{\beta_2^2 - 4\beta_1} - 16\sqrt{\beta_2^2 - 4\beta_1} \end{aligned}$$

Comencem l'estudi suposant que els dos punts són iguals, és a dir que  $\beta_2^2 = 4\beta_1$ . Si  $\beta_2 = \beta_1 = 0$ , l'origen és un *cusp*, pel teorema de classificació de punts nilpotents. Ara suposem  $\beta_2 \neq 0$  i passem el sistema a la seva forma de Jordan:

$$\begin{cases} x' = X(x, y, \beta) \\ y' = -\frac{\beta_2}{2}y + Y(x, y, \beta) \end{cases} \quad (8)$$

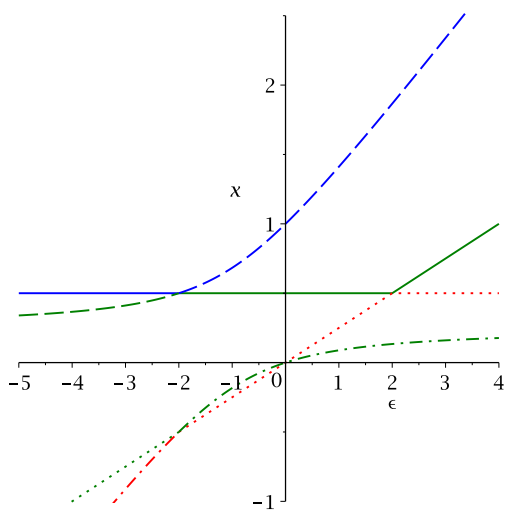
on  $\beta = (\beta_1, \beta_2)$  i  $X$  i  $Y$  tenen sèrie de Taylor començant per ordre 2. Fent càlculs i usant el teorema de classificació de punts semihiperbòlics resulta que obtenim un sella-node.

Ara suposem que  $\beta_2^2 > 4\beta_1$  i observem que:

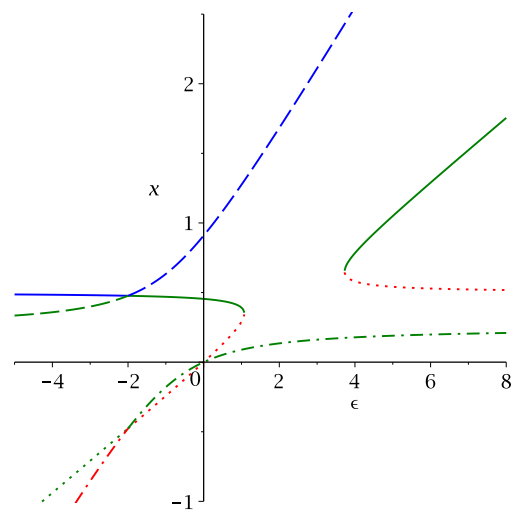
$$f(\beta_1, \beta_2) = \left( \beta_2 - \sqrt{\beta_2^2 - 4\beta_1} \right)^2 + 16\sqrt{\beta_2^2 - 4\beta_1} > 0$$

Per tant,  $z_+$  sempre té valors propis reals i el seu producte és  $-\sqrt{\beta_2^2 - 4\beta_1} < 0$ . Per tant, aquest punt sempre és una sella.

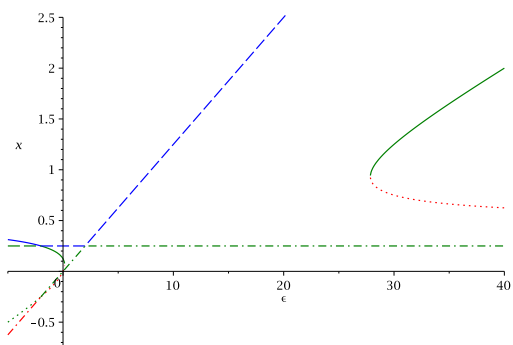
Centrem-nos ara amb  $z_-$ .



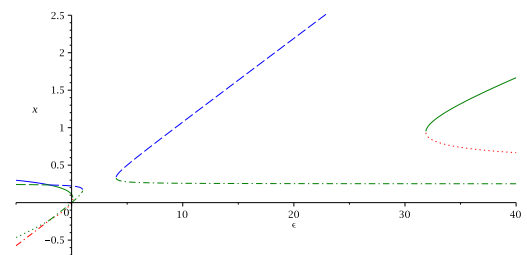
(a) Diagrama de bifurcació dels punts d'equilibri quan  $a = 1$



(b) Diagrama de bifurcació dels punts d'equilibri quan  $a = 2$



(c) Diagrama de bifurcació dels punts d'equilibri quan  $a = 4$



(d) Diagrama de bifurcació dels punts d'equilibri quan  $a = 4.5$